

# مجله علوم و صنایع غذایی ایران

سایت مجله: [www.fsct.modares.ac.ir](http://www.fsct.modares.ac.ir)



مقاله علمی\_پژوهشی

## خواص فیزیکی، مکانیکی و ضد میکروبی فیلم زیست فعال کربوکسی متیل سلولز حاوی انسانس های زنیان و مورد و تاثیر آن بر ماندگاری گوشت بوقلمون

اکرم سادات فیاضی<sup>۱</sup>، مهناز هاشمی روان<sup>۲</sup>، نرجس جنتی ها<sup>۳</sup>، مریم مصلحی شاد<sup>۴\*</sup>

۱- دانش آموخته کارشناسی ارشد، پژوهشگاه غذایی و کشاورزی، پژوهشگاه استاندارد-سازمان ملی استاندارد، کرج، ایران

۲- استادیار، گروه صنایع غذایی، دانشکده کشاورزی، واحد ورامین- پیشوای، دانشگاه آزاد اسلامی، ورامین- ایران

۳- دانشجوی دکتری، مرکز تحقیقات علوم تغذیه و صنایع غذایی، علوم پزشکی تهران، دانشگاه آزاد اسلامی، تهران، ایران

۴- استادیار، گروه علوم و صنایع غذایی، واحد صفادشت، دانشگاه آزاد اسلامی، تهران- ایران

### چکیده

### اطلاعات مقاله

بسته بندی های ضد میکروبی پتانسیل مناسبی جهت جلوگیری از میکروارگانیسم های بیماری زا و همچنین افزایش مدت ماندگاری محصولات گوشتی را دارا هستند. هدف از این پژوهش تعیین خواص فیزیکی، مکانیکی و میکروبی فیلم خوراکی کربوکسی متیل سلولز حاوی انسانس های مورد و زنیان ( $0/1\%$ ،  $0/3\%$ ،  $0/6\%$  و  $1\%$ )، سپس انتخاب غلظت بهینه انسانس ( $0/6\%$  و  $1\%$ ) و بررسی اثر آن بر ویژگی های میکروبی و فیزیکی گوشت تازه بوقلمون طی مدت نگهداری در یخچال می باشد. نتایج نشان داد که استحکام کششی کاهش و درصد کشیدگی این فیلم ها افزایش معنی داری داشتند ( $p<0/05$ ). میزان جذب آب، محتوی رطوبت، حلالت و میزان نفوذپذیری به بخار آب فیلم ها نیز با افزایش غلظت انسانس، کاهش معنی داری یافت. خاصیت ضد میکروبی با افزودن غلظت انسانس، افزایش یافت ( $p<0/05$ ). فیلم تهیه شده با انسانس زنیان، بیشتر از انسانس مورد از خود خاصیت ضد میکروبی نشان داده است. فیلم حاوی  $0/6\%$  زنیان موثر تر از فیلم حاوی  $1\%$  زنیان بر جمعیت باکتریایی نشان می دهد در حالیکه فیلم حاوی  $1\%$  زنیان اثر ضد میکروبی بیشتری بر کاهش میزان افزایش مدت ماندگاری گوشت بوقلمون شود. بر اساس نتایج حاصل، استفاده از فیلم حاوی  $0/6\%$  زنیان به عنوان تیمار موثر در بسته بندی های ضد میکروبی توصیه می گردد.

تاریخ های مقاله:

تاریخ دریافت: ۹۹/۰۱/۰۲

تاریخ پذیرش: ۹۹/۰۷/۱۳

### کلمات کلیدی:

انسانس زنیان،

انسانس مورد،

فعالیت ضد میکروبی،

بسته بندی،

فیلم خوراکی.

DOI: 10.52547/fsct.18.02.19

\*مسئول مکاتبات:

mmoslehi@safa.iau.ir

## ۱- مقدمه

پلی‌ساقاریدی، پروتئینی، لیپیدی و مرکب تقسیم کرد. فیلم های پلی‌ساقاریدی شامل آلتینات، پکتین، کاراگینان، نشاسته و مشتقات سلولز می‌باشند<sup>[۵,۷,۶]</sup>.

در میان زیست پلیمرها، سلولز و مشتقاش ترکیبات مناسبی برای ساخت فیلم های خوراکی می‌باشند، زیرا فاقد بو و مزه و قابل تجزیه می‌باشند. سلولز به علت ساختار شیمیایی خاص خود، بسیار کریستالی و نا محلول می‌باشد ولی کربوکسی متیل سلولز که از مشتقات سلولز است؛ محلول در آب بوده و به تنهایی فیلم های مستحکمی را تشکیل می‌دهد.<sup>[۱۰-۸]</sup>

اسانس های گیاهی خاصیت ضد میکروبی آنها مدت‌های است که شناخته شده است و به عنوان طعم دهنده و نگهدارنده در صنایع غذایی و دارویی کاربرد دارند<sup>[۱۱-۱۲]</sup>. گیاه زنیان یک ادویه معطر است که از نظر طعم و مزه شبیه به گیاه دارویی آویشن است. بخش دارویی این گیاه را میوه تشکیل می‌دهد<sup>[۱۳]</sup>.

مورد نیز گیاهی با خواص دارویی منحصر بفرد می‌باشد. این گیاه دارای ترکیبات حاوی تانن، فلانتوئید و فاقد آلkalوئید می‌باشد. مورد اثر ضد عفونی کننده داشته و از آن در مصارف داخلی و استعمال خارجی نیز می‌توان استفاده کرد<sup>[۱۴]</sup>.

فیلم های کربوکسی متیل سلولز به آهستگی در آب حل می‌شوند و میزان حلالیت پائینی دارند. چون پیوندهای هیدروژنی بین شماری بین زنجیرهای متیل سلولز وجود دارد، در حالیکه فیلم های حاوی پلی‌اتیلن گلیکول با وزن ملکولی ۴۰۰ خیلی سریع در آب حل می‌شوند، تشکیل پیوند هیدروژنی بین متیل سلولز و پلی‌اتیلن گلیکول ۴۰۰ باعث شکستن ساختار سه بعدی متیل سلولز و افزایش حلالیت آن در آب می‌شود<sup>[۱۵]</sup>.

فیلم های پلی‌ساقاریدی استحکام کششی و درصد از دیاد طول تا نقطه شکست (ETB)<sup>۱</sup> بیشتری نسبت به فیلم های سنتزی دارند. مقدار نرم کننده تاثیر زیادی روی خصوصیات فیلم داشته و استحکام کششی نهایی کاهش یافته و درصد از دیاد طول تا نقطه

بسته بندی یا پوشش ماده غذایی نقش منحصر به فردی در اینمنی فرآورده غذایی و در نتیجه سلامت مصرف کننده ایفا می‌کند. بسته بندی های سنتزی متداول‌ترین نوع بسته بندی مواد غذایی می‌باشد که آلودگی های زیست محیطی و وابستگی به نفت خام جهت تولید آنها توجه همگان را به فیلم های خوراکی جلب نموده است. بسته بندی های زیست سازگار بر پایه فیلم های خوراکی، به دلیل دارا بودن مواد طبیعی، قابلیت تجدید پذیری و عدم ایجاد آلودگی های زیست محیطی روز به روز از اهمیت خاصی برخوردار می‌شوند. فیلم و پوشش های خوراکی دارای مزیت هایی نسبت به بسته بندی های سنتزی می‌باشند. این پوشش های می‌توانند به همراه محصول مصرف شده، آلودگی های زیست محیطی را کاهش دهنده و حاملی برای ترکیبات مختلف باشند<sup>[۱]</sup>.

تکنولوژی بسته بندی فعال یکی از روش های نوین در نگهداری مواد غذایی محسوب می‌گردد و به عنوان نوعی از بسته بندی که شرایط بسته را به منظور افزایش مدت زمان نگهداری و بهبود اینمنی یا ویژگی های حسی، تغییر دهد در حالیکه کیفیت فرآورده غذایی حفظ شود، تعریف می‌شود<sup>[۲]</sup>. بسته بندی های فعال به علت دارا بودن ترکیباتی که می‌توانند فساد مواد غذایی را به تعویق اندازند علاوه بر عملکرد اولیه عنوان یک بسته بندی، امکان تولید فرآورده های غذایی اینمن با عمر انبار مانی بیشتر را فراهم می‌کنند<sup>[۳]</sup>. بسته بندی های فعال، علاوه بر داشتن ویژگی های بازدارندگی متداول بسته بندی های معمول (خواص بازدارندگی در برابر گاز ها، بخار آب و تنفس های مکانیکی) حاوی مواد مختلفی مانند ترکیبات ضد میکروبی، آنتی اکسیدان ها، مواد جاذب اکسیژن و غیره نیز می‌باشند که می‌توانند باعث افزایش اینمنی، ماندگاری ویژگی های حسی و ارتقا کیفیت نهایی مواد غذایی گردند<sup>[۴]</sup>.

فیلم ها و پوشش های خوراکی را می‌توان به چهار گروه

1. Elongation at break

شکست افزایش می‌یابد [۱۶].

متیل مطابق روش فوق الذکر تهیه شد [۱۸]. فیلم‌های تهیه شده (بدون اسانس و حاوی اسانس) در فویل آلومنیومی قرار داده شد و در دسیکاتور در دمای  $25^{\circ}\text{C}$  و رطوبت نسبی ۵۳٪ تا رسیدن به تعادل رطوبتی (وزن ثابت) و انجام آزمایش‌ها نگهداری شد. برای تامین رطوبت٪ ۵۳ از دسیکاتورهای حاوی سیلیکاژل استفاده شد [۱۸].

#### ۲-۲-۲- تعیین خواص فیزیکی فیلم

##### ۱-۲-۲-۲- ضخامت فیلم

ضخامت فیلم با ریزسنج دستی (Lorentzen & Wetter, ۲۰۰۱) با قدرت تفیکی  $0.001\text{ میلی متر}$  به طور تصادفی در ۷ موقعیت تعیین و میانگین آن‌ها برای محاسبات استفاده شد [۱۸].

##### ۲-۲-۲-۲- اندازه گیری رطوبت فیلم

ابتدا تکه‌های فیلم که رطوبت آن به تعادل رسیده، وزن شد و درون بوته چینی با وزن ثابت قرار گرفت. برای تعیین رطوبت، فیلم قبل و بعد از خشک شدن در آون ۱۱۰ درجه سلسیوس وزن شد. از سه بار تکرار برای هر تیمار فیلم در محاسبه رطوبت استفاده شد [۱۹].

##### ۳-۲-۲-۲- اندازه گیری حلایت فیلم در آب<sup>۱</sup>

برای این کار تکه‌هایی از فیلم پس از توزین درون بشر حاوی ۵۰ میلی‌لیتر آب مقطر قرار داده شد. نمونه‌ها به مدت ۶ ساعت در دمای  $25^{\circ}\text{C}$  قرار گرفتند. سپس مخلوط فیلم و آب بر روی یک کاغذ صافی که قبلاً به وزن ثابت رسیده و دقیقاً توزین شده بود صاف شد. کاغذ صافی به همراه نمونه تا رسیدن به وزن ثابت در آون با دمای  $110^{\circ}\text{C}$  قرار داده شد [۲۰].

رابطه ۱

$$\frac{ وزن خشک شده نهایی فیلم - وزن خشک شده اولیه فیلم }{ وزن خشک شده اولیه فیلم } \times ۱۰۰ = درصد حلایت$$

در این تحقیق، کربوکسی متیل سلولز به عنوان پلیمر زیستی تشکیل دهنده فیلم بسته بندی حاوی اسانس مورد و زنیان و تاثیر آن بر گوشت بوقلمون مورد استفاده قرار گرفت و خواص فیزیکی و مکانیکی فیلم حاوی اسانس‌ها مورد بررسی قرار گرفت.

## ۲- مواد و روشها

### ۱-۱- مواد

کربوکسی متیل سلولز با وزن مولکولی متوسط ۴۱۰۰ از شرکت کارگام پارسیان، اسانس‌های مورد و زنیان از شرکت باریج اسانس (کاشان)، امولسیفایر کننده توئین ۸۰ (مرک - آلمان)، گلیسرول ۷۸٪ (مرک - آلمان) و سیلیکاژل (پارسه - ایران) تهیه گردید.

### ۲-۲- روش‌ها

#### ۱-۲-۲- تهیه فیلم خوارکی کربوکسی متیل سلولز

برای تهیه محلول فیلم، ۲ گرم کربوکسی متیل سلولز در  $200\text{ میلی لیتر} \text{ آب}$  مقطر ریخته شد سپس در دمای  $70^{\circ}\text{C}$  به مدت ۴۵ دقیقه به طور مستمر در حمام آبی مجهز به همزن مغناطیسی (German JULABO-F12،) با سرعت ۷۰۰ دور در دقیقه هم زده شد و محلول شفاف و یکنواختی تهیه شد. ۱ میلی‌لیتر گلیسرول به عنوان پلاستیسایزر به آن اضافه شد. محلول فوق به مدت ۱۰ دقیقه در دمای  $70^{\circ}\text{C}$  هم زده و مخلوط شد. ۲۵ میلی‌لیتر از مخلوط تهیه شده در پلیت‌هایی از جنس آلومنیوم با قطر حدود ۱۵ میلی‌متر ریخته و در دمای  $35^{\circ}\text{C}$  به مدت زمان ۴۸ ساعت گرمخانه‌گذاری شد تا خشک شود. این فیلم به عنوان نمونه شاهد تهیه شد [۱۷].

فیلم‌های حاوی اسانس نیز با اضافه کردن غاظت‌های  $۰.۱\text{،}۰.۳\text{ و}۱$  درصد (حجمی/حجمی) از اسانس‌های زنیان و مورد به طور جداگانه و همچنین توئین ۸۰ به محلول فیلم کربوکسی

نوارهای مستطیل شکل با ابعاد  $8 \times 2/5$  سانتی متر بریده و میان دو فک دستگاه قرار داده شد. فاصله بین دو فک ۶۸ میلی متر و سرعت حرکت فک متحرک ۵۰ میلی متر در دقیقه تنظیم شد. فیلمها میان دو بازو کشیده شدند تا زمانی که نوار پلیمری پاره شود. نتایج با سه تکرار و بصورت نموداری ارائه شد [۲۲].

#### ۴-۴- اندازه گیری رنگ سطحی فیلم ها

برای اندازه گیری رنگ سطحی، فیلمها بر روی یک پلیت سفید قرار داده شد. میزان رنگ آنها با استفاده از دستگاه رنگ سنج اندازه گیری شد. برای محاسبه اختلاف رنگ نمونه با پلیت سفید با استفاده از داده های به دست آمده شامل فاکتور  $L^*$ ,  $a^*$  و  $b^*$  (پارامتر استاندارد) و فاکتور  $L$ ,  $a$  و  $b$  (پارامتر مربوط به نمونه) استفاده شد [۲۳].

رابطه ۳

$$\Delta E = \sqrt{(L^* - L)^2 + (a^* - a)^2 + (b^* - b)^2}$$

اختلاف رنگ فیلم ها

رابطه ۴

$$W_1 = 100 - \sqrt{(100 - L)^2 + a^2 + b^2}$$

میزان سفیدی

#### ۴-۵- بررسی ریز ساختار فیلم به وسیله میکروسکوپ

##### الکترونی روپوشی<sup>۱</sup>

بررسی ریز ساختار نمونه های فیلم به وسیله میکروسکوپ Oxford Instruments INCA Penta الکترونی روپوشی (FET $\times$  X3) انجام یافت. به منظور بررسی تاثیر افزودن اسانس های مورد بررسی بر ویژگی های ریز ساختاری فیلم ها، تصاویر میکروسکوپ الکترونی علاوه بر سطح فیلم، از مقطع عرضی آنها نیز گرفته شد. ابتدا فیلم ها به کمک چسب نقره بر روی پایه آلومنیومی چسبانده شدند. البته برای تصویر برداری از مقطع عرضی، پس از شکستن نمونه ها با فرو بردن آنها در ازت

#### ۴-۲-۲- تعیین نفوذ پذیری به بخار آب (WVP)

برای انجام آزمایش مقداری سیلیکاژل درون ظروف فلزی دایره ای مخصوصی با قطر ۶ سانتی متر و عمق ۱۰ سانتی متر ریخته شد. سپس قطعه ای از فیلم مورد آزمون به اندازه قطر درپوش ظرف بریده شد و در آن قرار داده شد. به این ترتیب به علت جاذب الرطوبه بودن سیلیکاژل رطوبت نسبی درون ظروف صفر درصد گردید. سپس ظروف با تمام محتویات توزین شد و داخل دیسیکاتور حاوی محلول اشیاع سدیم کلرید با رطوبت نسبی ۷۵٪ قرار داده شد. سپس وزن آنها، در مدت زمان های معین (هر ۲۴ ساعت یکبار) تا زمانی که وزن ثابت گردید، اندازه گیری شد. میزان عبور بخار آب از فیلم ها بر اساس تغییرات وزن ظرف ها، محاسبه گردید. رطوبت در دو سمت فیلم در دمای  $25^{\circ}\text{C}$  منجر به شیب بخاری معادل  $1753/55$  پاسکال می شود. تغییرات برای هر نمونه فیلم، یک ظرف فاقد سیلیکاژل، که توسط فیلم پوشانده شده بود به عنوان شاهد در نظر گرفته شد. میزان نفوذ پذیری بخار آب (WVP) با سه تکرار طبق رابطه ۲ ( $\text{g}/\text{m.h.Pa} \times 10^{-7}$ ) گزارش می شود.

$P$  = میزان فشار بخار آب اشیاع،  $R_1$  = رطوبت نسبی در دیسیکاتور،  $R_2$  = رطوبت نسبی در ظرف،  $X$  = ضخامت فیلم (m)،  $P(R_1 - R_2)$  = فشار جزئی بخار آب که برابر  $1753/55$  پاسکال می باشد [۲۱].

$$(WVP) = \frac{WVTR}{P(R_1 - R_2)}$$

رابطه ۲

#### ۳-۲-۲- ویژگی های مکانیکی

ویژگی مکانیکی نمونه های فیلم با اندازه گیری استحکام کششی (TS)، درصد از دیداد طول در نقطه پارگی (E) با استفاده از دستگاه کشش HOUNSFIELD مدل H10KS ساخت سوئیس ارزیابی شد. بدین ترتیب که ابتدا نمونه ها به مدت ۴۸ ساعت در رطوبت نسبی ۵۰٪ و دمای  $24^{\circ}\text{C}$  در یک اتاق کشش دهی قرار داده شده بودند. هر یک از فیلم ها به صورت

همزن هموژن شد. از این محلول جهت تهیه رقت های متوالی استفاده گردید. بار باکتریایی کل<sup>۱</sup> و بار باکتریایی سرم‌ماگرا<sup>۲</sup> به روش پور پلیت در محیط‌کشت پلیت کانت آگار<sup>۳</sup> و به ترتیب در دماهای  $30^{\circ}\text{C}$  به مدت ۷۲ ساعت و  $6/5^{\circ}\text{C}$  به مدت ۷ تا  $10^{\circ}\text{C}$  روز انجام شد. تعداد باکتری‌های کلی فرم<sup>۴</sup> به روش بیشترین تعداد احتمالی (MPN)<sup>۵</sup> انجام پذیرفت. علاوه بر آزمون‌های ذکر شده آزمون سالمونلا نیز بر روی گوشت بوقلمون انجام شد و نمونه‌ها فاقد سالمونلا بودند [۲۵-۲۹].

### ۲-۳-۲- اندازه گیری pH

۱ گرم از نمونه گوشت سینه بوقلمون هموژن شده و با ۱۰۰ میلی‌لیتر آب مقطر مخلوط گردید و در نهایت pH نمونه با کمک دستگاه pH متر که در pH ۴ و ۷ استاندارد شده بود، اندازه گیری شد [۲۴].

### ۲-۴- روش تجزیه و تحلیل آماری

با توجه به نرمال بودن توزیع داده‌ها برای مقایسه بین تیمارها از جداول تجزیه و تحلیل واریانس یک طرفه استفاده شد و سپس برای مقایسه میانگین‌ها از آزمون مقایسه میانگین‌دانکن (Duncan) در سطح معنی‌داری  $0/05$  استفاده گردید. برای این منظور از نرم افزار نسخه SPSS 22 استفاده شد.

## ۳- نتایج

### ۳-۱- بررسی ویژگی‌های فیزیکی فیلم‌ها

ویژگی‌های فیزیکی فیلم شاهد (بدون انسانس) و فیلم‌های دارای انسانس زنیان و مورد شامل ضخامت، مقدار رطوبت، درصد حلالیت و نفوذ پذیری به بخار آب در جدول ۱ آمده است.

مایع، از سمت مقابل قسمت شکسته شده به پایه چسبانده شدند. به منظور پوشش دادن نمونه‌ها با بطاطا، پایه‌ها در یک دستگاه BAL-TEC AG، Balzers، (Liechtenstein) تا نقطه بحرانی خشک شده و به مدت پنج دقیقه با طلا پوشش داده شدند. تصاویر با استفاده از ولتاژ شتاب دهنده ۲۰ کیلووات در مورد فیلم شاهد (بدون پوشش) و از ولتاژ ۱۰ کیلووات برای فیلم‌های دارای انسانس بزرگنمایی‌های مختلفی تهیه شدند [۱۷].

### ۳-۲- آماده کردن نمونه‌های گوشت بوقلمون و

#### نحوه پوشش دادن

ابتدا گوشت بوقلمون به قطعاتی با وزن  $25\pm 5$  تقسیم کرده، تیمارها شامل گوشت پوشش داده شده با فیلم کربوکسی‌متیل-سلولز فاقد انسانس (شاهد)، گوشت پوشش داده شده با فیلم کربوکسی‌متیل سلولز حاوی غلاظت‌های  $0/6\%$  و  $1\%$  حجمی/حجمی از انسانس زنیان، گوشت پوشش داده شده با فیلم کربوکسی‌متیل سلولز حاوی غلاظت‌های  $0/6\%$  و  $1\%$  حجمی از انسانس مورد تقسیم شدن و در ظرف‌های یکبار مصرف در دار قرار داده شد. انتخاب غلاظت‌های مورد استفاده از انسانس‌ها بر اساس خاصیت ضد میکروبی فیلم‌ها انجام شد. گوشت‌های بسته بندی شده در فیلم حاوی انسانس‌ها و شاهد (بدون انسانس) به یخچال با دماهای  $4^{\circ}\text{C}$  منتقل شدند. سپس در روزهای صفر، اول، سوم، پنجم و هفتم ویژگی‌های میکروبی و اندازه گیری میزان pH مطابق استاندارد ملی بر روی آن‌ها انجام شد [۲۴].

### ۳-۲-۱- آزمون‌های میکروبی

برای شمارش باکتریایی نمونه‌های گوشت، ابتدا ۱۰ گرم از نمونه گوشت در شرایط استریل با  $90$  میلی‌لیتر پپتون واتر با کمک

1.Total bacterial counts

2.PsychrophilicCounts

3.Plate Count Agar

4.Coliforms

5.Most probable number technique

**Table 1** Physical properties of Carboxymethyl Cellulose films formulated with different concentration of *Myrtus Communis* and *Trachyspermum Ammi* essential oil

Sample	WVP (g m <sup>-2</sup> day <sup>-1</sup> )	Solubility in water (%)	Moisture content (%)	Thickness (μm)
Mord 0.6	10.15±1.65 <sup>ab</sup>	0.12±1.01 <sup>a</sup>	0.17±1.35 <sup>a</sup>	55.96±3.163 <sup>a*</sup>
Zenian 0.6	9.59±1.28 <sup>abc</sup>	0.13±0.25 <sup>a</sup>	0.21±0.41 <sup>a</sup>	69.80±1.47 <sup>b</sup>
Mord 1	10.16±1.27 <sup>ab</sup>	0.10±1.56 <sup>a</sup>	0.08±0.01 <sup>a</sup>	35.00±0.11 <sup>c</sup>
Zenian 1	12.46±0.50 <sup>a</sup>	0.09±2.35 <sup>a</sup>	0.09±0.12 <sup>a</sup>	59.40±2.15 <sup>d</sup>
Mord 0.3	8.49±0.53 <sup>bc</sup>	0.19±1.41 <sup>a</sup>	0.17±0.69 <sup>a</sup>	44.00±1.02 <sup>e</sup>
Zenian 0.3	8.74±0.78 <sup>bc</sup>	0.19±0.78 <sup>a</sup>	0.18±8500 <sup>a</sup>	31.97±0.16 <sup>c</sup>
Mord 0.1	9.25±1.04 <sup>abc</sup>	0.40±1.25 <sup>a</sup>	0.25±0.01 <sup>a</sup>	36.67±2.02 <sup>c</sup>
Zenian 0.1	6.47±0.34 <sup>d</sup>	0.21±0.10 <sup>a</sup>	0.18±0.04 <sup>a</sup>	21.35±1.08 <sup>f</sup>
Control	10.64±1.41 <sup>ab</sup>	1.00±0.15 <sup>b</sup>	23.78±1.59 <sup>b</sup>	49.66±2.33 <sup>g</sup>

\* Reported data average values ± standard error. Values within each column with different letters are significantly different ( $p<0.05$ ).

### ۱-۴- بررسی اثر اسانس های زینیان و مورد بر نفوذ

#### پذیری به بخار آب فیلم ها

فیلم حاوی غلظت ۰٪ و ۱٪ زینیان اختلاف معنی داری با فیلم فاقد اسانس نشان داد ( $p<0.05$ ). بیشترین نفوذ پذیری به بخار آب در فیلم حاوی ۱٪ زینیان و کمترین نفوذ پذیری به بخار آب در فیلم حاوی ۰٪ زینیان مشاهده شد. بطور کلی می توان عنوان کرد که وجود هر دو اسانس در همه غلظت ها به استثنای فیلم دارای زینیان ۱٪ دارای کاهش معنی داری در نفوذ پذیری نسبت به بخار آب در مقایسه با فیلم شاهد سبب گردید ( $p<0.05$ ).

### ۱-۵- بررسی ویژگی های مکانیکی (استحکام کششی و ازدیاد طول) فیلم ها

جدول ۲ ویژگی های مکانیکی (استحکام کششی و ازدیاد طول) فیلم شاهد و فیلم های حاوی اسانس زینیان و مورد را نشان می دهد.

افزودن اسانس ها سبب کاهش مقاومت کششی در فیلم ها (به استثنای زینیان با غلظت ۰٪) و افزایش درصد ازدیاد طول آنها (به استثنای فیلم های حاوی زینیان با غلظت ۰٪ و ۱٪) و همچنین مورد با غلظت ۰٪ و ۱٪) و یا عدم تفاوت معنی داری نسبت به نمونه شاهد را نشان داد. بیشترین افزایش طول در فیلم دارای اسانس مورد با غلظت ۰٪ و سپس ۱٪.

افزودن غلظت های اسانس های مورد و زینیان در فیلم از ۰٪ تا ۱٪ باعث تغییر در میزان مقاومت به کشش مربوط به این فیلم شده است. مقاومت کششی فیلم از ۱۰/۶۰ تا ۲/۵۲ نیوتن در فیلم حاوی ۰٪ اسانس زینیان و ۳/۹۳ در فیلم حاوی ۱٪ زینیان، به صورت معنی داری ( $p<0.05$ ) کاهش یافت.

### ۱-۱-۱- بررسی نتایج ارزیابی ضخامت فیلم های حاوی اسانس

افزودن اسانس زینیان در غلظت های ۰٪ و ۱٪ و مورد ۰٪ سبب افزایش معنی دار ضخامت فیلم ها نسبت به فیلم شاهد شد ( $p<0.05$ ). ضخامت فیلم ها در دامنه ۲۱/۳۵-۶۹/۸۰ قرار داشتند. بررسی نتایج نشان می دهد که ضخامت در هر دو اسانس در تمام غلظت ها اختلاف معنی داری با فیلم شاهد داشته است ( $p<0.05$ ).

### ۱-۲- بررسی نتایج میزان رطوبت فیلم های حاوی اسانس

هنگامی که غلظت های اسانس های زینیان و مورد در فیلم از ۰٪ تا ۳٪ افزایش می یابد، محتوای رطوبت مربوط به این فیلم ها کاهش یافت. رطوبت فیلم شاهد از ۲۳/۷۸٪ در حضور ۱٪ از اسانس ها بصورت معنی داری کاهش نشان داده و به ۰٪ و ۰٪ به ترتیب در فیلم های حاوی ۱٪ مورد و ۱٪ زینیان رسید ( $p<0.05$ ).

### ۱-۳- بررسی اثر اسانس های زینیان و مورد بر حلایت فیلم ها

نتایج نشان داد اختلاف معنی داری در درصد حلایت در آب، فیلم های دارای زینیان و مورد ۰٪ نسبت به فیلم شاهد مشاهده شد ( $p<0.05$ ). بیشترین کاهش در فیلم های دارای اسانس ۱٪ زینیان و سپس ۱٪ اسانس مورد مشاهده شد. میان اسانس های زینیان و مورد در هر غلظت در کاهش حلایت تفاوت معنی دار بود ( $p<0.05$ ).

**Table 2** Mechanical properties Carboxymethyl Cellulose films formulated with different concentration of *Myrtus Communis* and *Trachyspermum Ammi* essential oil

Sample	Elongation at break (%)	Tensile strength (MPa)
Mord 0.6	20.01±0.81 <sup>ab</sup>	10.01±0.76 <sup>a*</sup>
Zenian 0.6	21.62±2.02 <sup>ab</sup>	15.05±1.49 <sup>b</sup>
Mord 1	28.63±0.64 <sup>c</sup>	6.23±0.64 <sup>ac</sup>
Zenian 1	8.10±1.12 <sup>d</sup>	3.93±0.15 <sup>d</sup>
Mord 0.3	17.75±5.07 <sup>abc</sup>	2.46±0.46 <sup>d</sup>
Zenian 0.3	11.87±0.85 <sup>cd</sup>	2.52±0.24 <sup>d</sup>
Mord 0.1	39.68±8.11 <sup>e</sup>	10.78±4.26 <sup>a</sup>
Zenian 0.1	20.27±0.90 <sup>ab</sup>	7.48±0.44 <sup>ac</sup>
Control	20.70±1.90 <sup>ab</sup>	10.60±0.47 <sup>a</sup>

\* Reported data average values ± standard error. Values within each column with different letters are significantly different ( $p<0.05$ ).

اسانس زینیان و مورد در فیلم از ۰/۱٪ تا ۱٪ افزایش می‌یابد،

شفافیت (فاکتور \*<sup>a</sup>) از ۹۹/۵۹ تا ۹۹/۳ کاهش یافت. رنگ فیلم

ها حاوی اسانس، با افزایش غلظت اسانس رو به سبزی (فاکتور

\*-a\*) و زردی (فاکتور \*<sup>b</sup>) افزایش داشتند.

### ۶-۱-۳- مشخصه های رنگی

رنگ و شفافیت فیلم های خوراکی یکی از شاخص های بسیار

مهم در افزایش میزان بازار پسندی محصول است [۳۰].

با توجه به جدول ۳ نتایج نشان داد، هنگامی که غلظت های

**Table 3** Effect of three concentration of *Myrtus Communis* and *Trachyspermum Ammi* essential oil on optical properties of Carboxymethyl Cellulose films

Sample	ΔE	b*	a*	I*
Mord 0.6	2.41±0.96 <sup>ab</sup>	5.65±1.09 <sup>a</sup>	-2.53±0.36 <sup>a</sup>	99.65±0.61 <sup>a</sup>
Zenian 0.6	2.87±0.63 <sup>ab</sup>	8.60±1.28 <sup>b</sup>	-3.03±0.43 <sup>b</sup>	99.58±0.6 <sup>a</sup>
Zenian 1	5.82±0.79 <sup>c</sup>	13.14±0.74 <sup>c</sup>	-4.61±0.28 <sup>bc</sup>	99.35±0.42 <sup>a</sup>
Mord 0.3	3.37±1.23 <sup>bc</sup>	4.460±1.02 <sup>ad</sup>	-1.31±0.54 <sup>d</sup>	99.63±0.13 <sup>a</sup>
Zenian 0.3	2.29±0.93 <sup>ab</sup>	6.29±1.15 <sup>ade</sup>	-2.24±0.40 <sup>a</sup>	99.69±0.60 <sup>a</sup>
Mord 0.1	2.71±5.3 <sup>ab</sup>	7.01±1.21 <sup>adf</sup>	-2.48±0.41 <sup>a</sup>	99.73±0.76 <sup>a</sup>
Zenian 0.1	3.55±9.1 <sup>bc</sup>	4.29±0.86 <sup>ad</sup>	-1.57±0.29 <sup>d</sup>	99.59±0.51 <sup>a</sup>
Control	0	7.60±0.22 <sup>adf</sup>	-2.85±0.15 <sup>a</sup>	99.59±0.24 <sup>a</sup>

\*Reported data average values ± standard error. Values within each column with different letters are significantly different ( $p<0.05$ ).

نتایج حاصل از تعیین ریز ساختار از سطح مقطع در فیلم شاهد ۱

(a) نشان می‌دهد که فیلم فاقد اسانس دارای ساختار فشرده،

صف و ریز ساختارهای پیوسته و فاقد بی نظمی می‌باشد.

در فیلم حاوی اسانس های زینیان با غلظت ۰/۷٪، غلظت ۱٪ و

غلظت ۱٪ و ۰/۳٪ فیلم حاوی اسانس مورد، با افزودن اسانس

سبب ایجاد ساختار ناهمگن در فیلم شده به ویژه زمانی که غلظت

اسانس بیشتر می‌شود.

### ۷-۱-۳- بررسی ریز ساختار فیلم ها

شکل ۱ تصاویر برش مقطع عرضی فیلم فاقد اسانس (a) و فیلم

های دارای اسانس زینیان ۱٪(b)، اسانس مورد ۰/۱٪(c)، اسانس

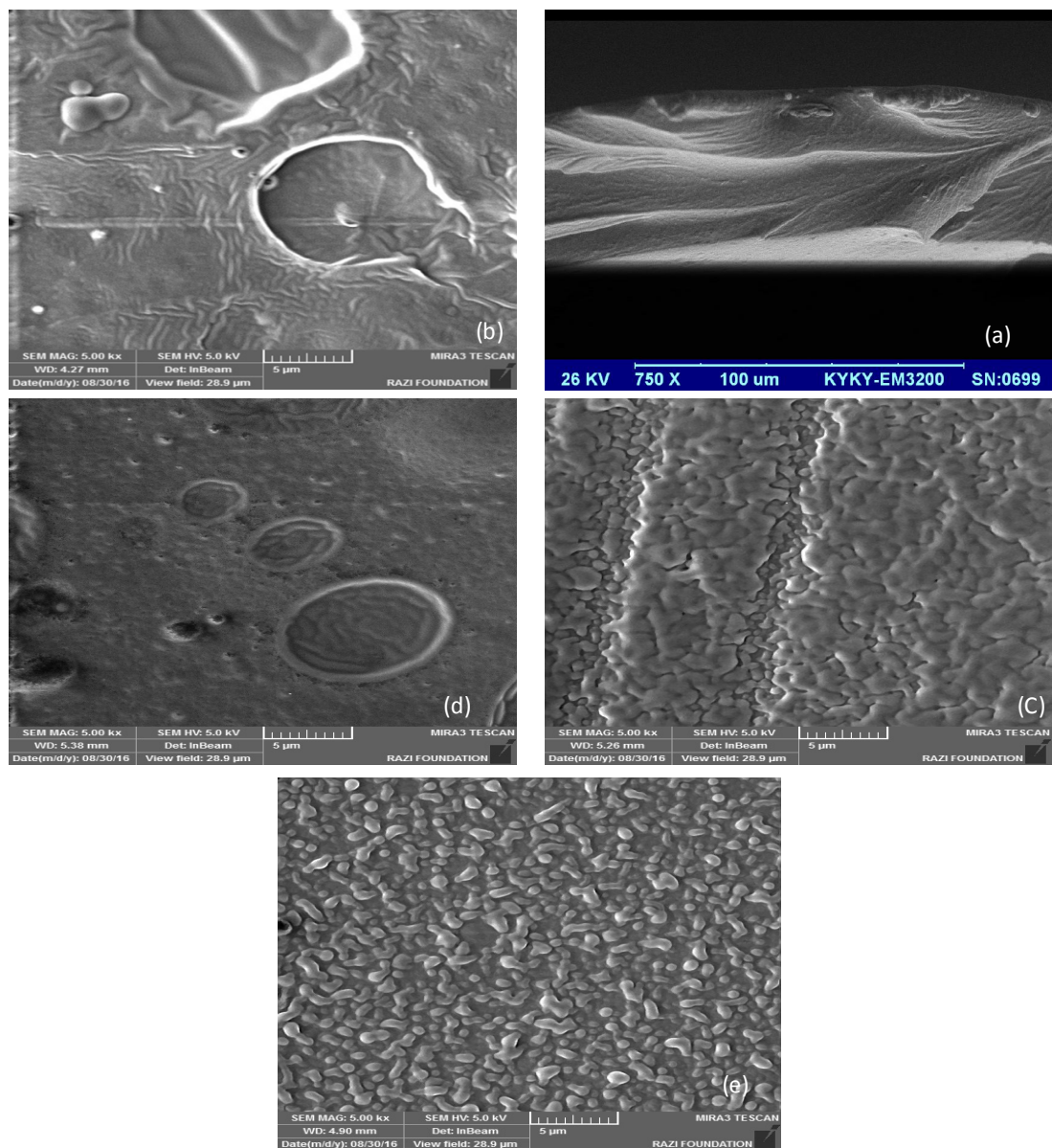
زینیان ۰/۷٪(d)، اسانس مورد ۰/۶٪(e) را نشان می‌دهد. فیلم

کربوکسی متیل سلولز خالص دارای سطح صاف و بدون حباب یا

ترک بود، اما افزودن اسانس سبب ایجاد ناپیوستگی در ساختار

آن گردید که در غلظت ۱٪ قطرات اسانس در هر دو نوع فیلم

قابل مشاهده بود.



**Fig 1** SEM micrographs of the films. (a) Control, (b) 1% *Trachyspermum Ammi*, (c) 1% *Myrtus Communis*, (d) 0.6 % *Trachyspermum Ammi*, (e) 0.6 % *Myrtus Communis*

استافیلولوگوس اورئوس کوگولاز مثبت، اشرشیاکلی و سالمونلا تایفی موریوم نشان داد که فیلم کربوکسی متیل سلولز خالص قادر به فعالیت ضد میکروبی بود، اما در حضور انسانس های مورد بررسی از رشد باکتری ها به ویژه در غلاظت ۰/۶٪ و ۱٪ بطور قابل توجهی بازداری نمودند [۳۱].

### ۲-۳-آزمون های میکروبی

#### ۱-۲-۳- خاصیت ضد میکروبی فیلم ها

جدول ۴ خاصیت ضد میکروبی فیلم های دارای انسانس را نشان می دهد.

بررسی فعالیت ضد میکروبی فیلم ها بر روی ۳ باکتری

**Table 4** Antimicrobial activity of Carboxymethyl Cellulose films formulated with different concentration of *Myrtus Communis* and *Trachyspermum Ammi* essential oil

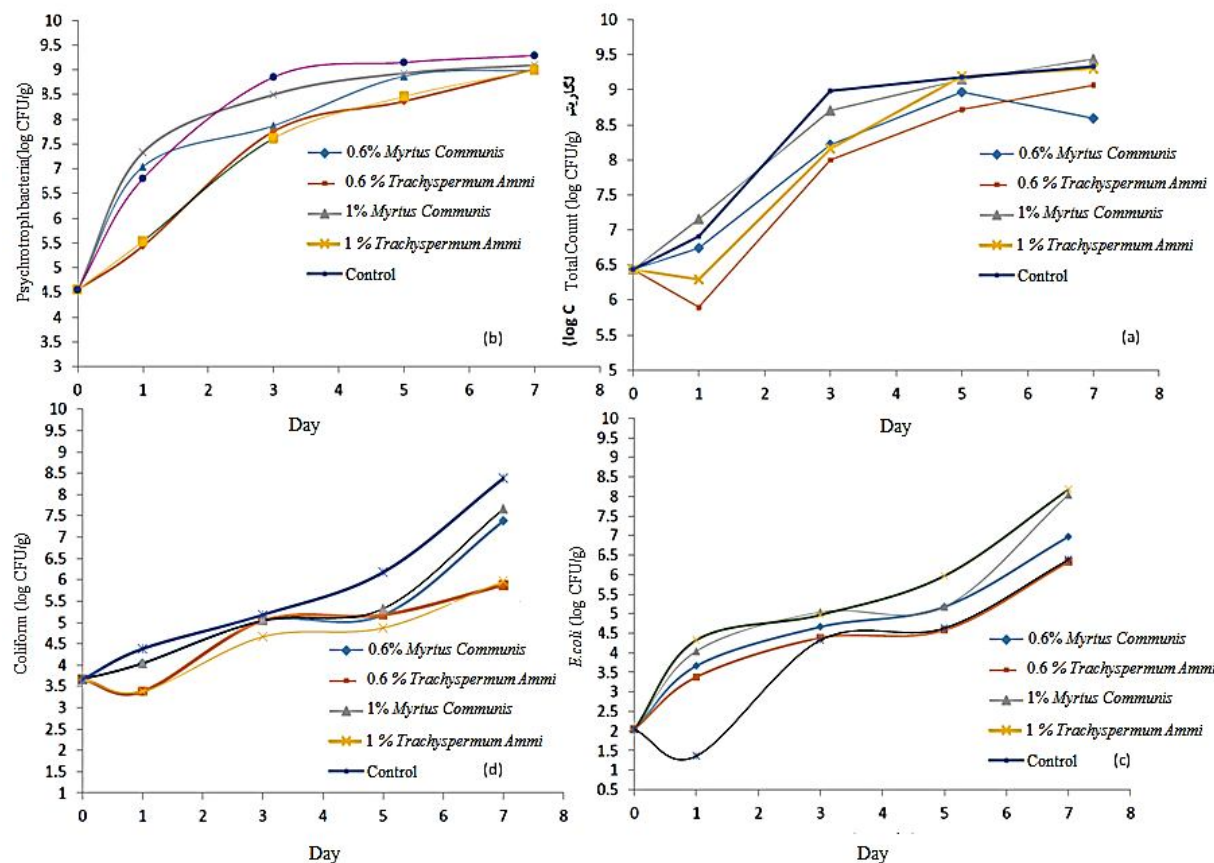
Sample	<i>S. typhimurium</i> (R)	<i>S. aureus</i> (R)	<i>E.coli</i> (R)*
<i>Myrtus Communis</i> 0.6	1.18	4.1	5.3
<i>Trachyspermum Ammi</i> 0.6	3.85	4.1	5.3
<i>Myrtus Communis</i> 1	0.11	4.1	5.3
<i>Trachyspermum Ammi</i> 1	3.85	4.1	5.3
<i>Myrtus Communis</i> 0.3	0.05	1.8	5.3
<i>Trachyspermum Ammi</i> 0.3	3.85	4.1	5.3
<i>Myrtus Communis</i> 0.1	-0.14	1.7	3.91
<i>Trachyspermum Ammi</i> 0.1	0.32	2.12	1.31
Control	Mean: 5.86	Mean: 5.70	Mean: 5.79

\*R&gt;3=High; 3&gt; R &gt;2 =Medium; R&lt;2 = Low

سرما گر، (c) میزان شرشیا کامی و (d) بار باکتریایی کامی فرم و در تیمارهای گوشت سینه بوقلمون نگهداری شده در دمای C ° با گذشت زمان نشان می دهدن.

۲-۲-رونده تغییرات رشد باکتریایی در تیمارهای گوشت سینه بوقلمون

شکل ۲ (a) تغییرات بار باکتریایی کل ، (b) تغییرات بار باکتریایی



**Fig 2** Changes in Total Viable Count (a), Psychrotroph bacteria (b), *E. coli*(c), and Coliform bacteria (d), in raw Turkey meat during storage.

بار باکتریایی کلی فرم در تیمارهای مختلف در طی زمان نگهداری در دمای  $^{\circ}\text{C} 4$  در شکل ۲ (d) نشان داده شده است. تعداد بار باکتریایی کلی فرم ها در حضور فیلم های حاوی  $0/6\%$  و  $1\%$  زنیان در روز اول روند کاهشی داشته است که این روند کاهشی نسبت به فیلم شاهد داری اختلاف معنی داری می باشد ( $p<0/05$ ). این نتایج اثر بهتر فیلم حاوی مورد  $0/6\%$  در کاهش تعداد بار باکتریایی کلی فرم حاوی  $0/6\%$  زنیان در کاهش تعداد بار باکتریایی کلی فرم نسبت به فیلم حاوی  $1\%$  دارای اختلاف معنی داری نمی باشد ( $p\geq0/05$ ).

#### ۴-۳- نتایج اندازه گیری pH

شکل ۳ نشان دهنده تغییرات pH تیمارهای مختلف در طی زمان نگهداری در دمای  $^{\circ}\text{C} 4$  می باشد. تغییرات pH در فیلم حاوی  $1\%$  زنیان تا روز پنجم معنی دار نمی باشد ( $p\geq0/05$ ). نتایج نشان دهنده تغییرات کم pH در فیلم حاوی مورد  $0/6\%$  نسبت به فیلم حاوی  $1\%$  مورد می باشد. کاهش تغییرات pH در فیلم حاوی  $0/6\%$  مورد نسبت به فیلم حاوی  $1\%$  مورد دارای اختلاف معنی داری می باشد ( $p<0/05$ ).

در همه تیمارها افزایش تعداد باکتری های مورد بررسی در طول دوره مشاهده گردید. روند افزایش در نمونه شاهد بطور معنی داری ( $p<0/05$ ) بیشتر از سایر نمونه ها بهویژه در روزهای آخر نگهداری بود بطوریکه تعداد کل باکتریای در روز صفر از  $6/43 \log \text{cfu/g}$  در روز هفتم رسید.

فیلم های حاوی  $0/6\%$  و  $1\%$  زنیان کاهش تعداد بار باکتریایی نسبت به فیلم حاوی  $0/6\%$  مورد و شاهد (قاد اسانس دارای اختلاف معنی داری می باشد ( $p<0/05$ )). فیلم حاوی  $0/6\%$  زنیان بیشتر از فیلم حاوی  $1\%$  باعث کاهش تعداد بار باکتریایی می شود. شکل ۲ (b) نشان دهنده روند افزایش تعداد بار باکتری های سرماگرا در طول مدت زمان نگهداری می باشد. تاثیر فیلم زنیان  $0/6\%$  در کاهش بار باکتریایی سرما گرا نسبت به فیلم حاوی  $1\%$  زنیان دارای اختلاف معنی داری نمی باشدند ( $p=0/05$ ). کاهش تعداد بار باکتریایی سرماگرا در فیلم های حاوی زنیان نسبت به فیلم های حاوی مورد و فیلم شاهد (قاد اسانس) دارای اختلاف معنی داری ( $p<0/05$ ) می باشد.

شکل ۲ (c) تعداد باکتری های اشرشیا کلی در تیمارهای نگهداری شده در در دمای  $^{\circ}\text{C} 4$  را نشان می دهد. کاهش تعداد اشرشیا کلی در تمام فیلم های حاوی اسانس زنیان و مورد نسبت به فیلم شاهد اتفاق افتاده است.

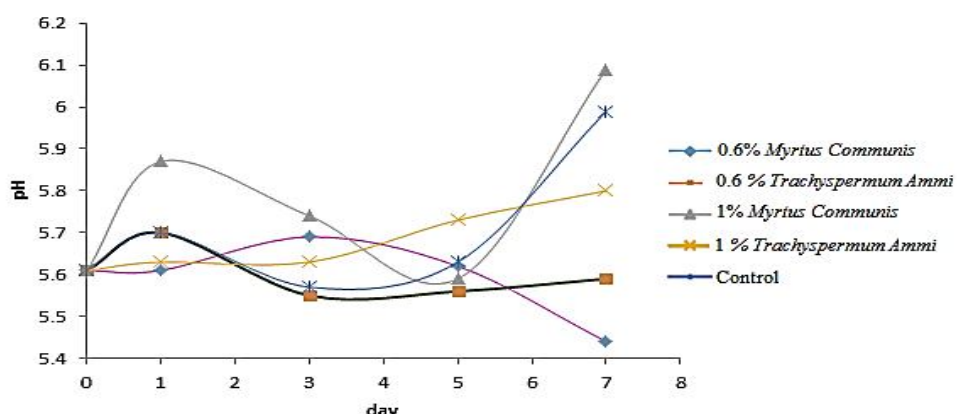


Fig 3 Effect of essential oil on pH of Turkey Meat during storage

میزان مواد جامد موجود در آنها است. البته نحوه قرارگیری مولکول های اسانس و توئین  $80$  در فیلم نیز در افزایش ضخامت موثر است. فیلم های دارای اسانس به ویژه در غاظت  $1\%$  دارای بافتی شبیه اسفنج فشرده می باشند که خود سبب افزایش

#### ۴- بحث

۴-۱- بررسی ویژگی های فیزیکی فیلم ها  
افزایش ضخامت فیلم ها در حضور اسانس احتمالاً بعلت افزایش

Moradi و همکاران (۲۰۱۲) که نتایج یکسانی را به ترتیب در فیلم‌های آژینات دارای انسانس ارگانو و فیلم‌های کیتوزان دارای انسانس آویشن شیرازی و عصاره هسته انگورگزارش دادند، مطابقت دارد [۴۵، ۴۶].

علت تغییرات رنگ در ویژگی‌های نوری فیلم را احتمالاً می‌توان به وجود ترکیبات فنلی انسانس‌ها نسبت داد. افزودن فاز پراکنده غیر قابل امتزاج به پراکنش تشکیل‌دهنده فیلم باعث کاهش شفافیت فیلم تهیه شده در مقایسه با فیلم شاهد می‌شود. احتمالاً این مسئله با افزایش پراکش نور توسط ذرات انسانس پراکنده شده در ماتریکس فیلم در ارتباط است. ویژگی پراکش نور به مقدار و اندازه ذرات فاز پراکنده (قطرات انسانس) وابسته است؛ هرچه مقدار فاز پراکنده بیشتر باشد، شدت پراکش نور بیشتر و در نتیجه شفافیت فیلم کمتر است [۴۶]. نتایج بدست آمده با نتایج Gómez-Estaca و همکاران (۲۰۰۹) در مورد اثر عصاره گاو زبان و Sazedul Hoque و همکاران (۲۰۱۰) در مورد اثر عصاره دارچین و میخک بر فیلم‌های ژلاتینی که سبب افزایش کدورت فیلم شد، مطابقت دارد [۴۷، ۴۸].

فیلم کربوکسی متیل سلولز خالص دارای ریز‌ساختار پیوسته شکل ۱(a)، صاف و فشرده‌ای بود که با اضافه شدن انسانس به آن ناهمگنی در ساختار ایجاد شد که دلیل آن به دام افتادن قطرات انسانس در شبکه پیوسته پلی ساکاریدی می‌باشد. فرآیند همگن سازی توانسته است قطراتی با اندازه‌های تقریباً مساوی حتی در غلاظت‌های بالای انسانس را ایجاد نماید. اما قطرات انسانس در فیلم‌ها دقیقاً به صورت کروی آنچنان که در امولسیون‌های آب/روغن متداول است، نبودند که این پدیده احتمالاً به دلیل آن است که در مدت خشک شدن فیلم‌های امولسیونه، قطرات انسانس به علت نیروهای دفرماسیون که در طول بازآرایی ساختاری زنجیره‌های کربوکسی متیل سلولز و در نتیجه انتباخت شبکه به آن‌ها وارد شده است، دچار کشیدگی شده است. هیچ گونه پارگی در فیلم‌های امولسیونه حتی در بالاترین غلاظت دیده نشد که احتمالاً به دلیل کاهش حرکت قطرات روغن به دلیل بالا بودن ویسکوزیته پراکنش تشکیل‌دهنده فیلم کربوکسی متیل سلولز در طول خشک شدن می‌باشد. در غلاظت‌های کم انسانس، اندازه ذرات موجود در فیلم‌های امولسیونه کوچک بود که با افزایش غلاظت انسانس اندازه قطرات نیز افزایش نشان داد، بطوریکه در غلاظت ۱٪

ضخامت نسبت به فیلم شاهد می‌شود [۳۲].

افزودن ۱٪ انسانس زینیان و مورد سبب کاهش معنی داری در میزان رطوبت فیلم‌ها گردید ( $p < 0.05$ ). این کاهش به دلیل ماهیت آبگریزی انسانس‌های مورد و زینیان بود. جذب رطوبت به دلیل گروههای هیدروکسیل موجود است که با آب پیوند برقرار می‌کند. این نتیجه با نتایج حاصل از پژوهش حسینی و همکاران در سال ۱۳۸۸ مطابقت داشت [۳۳ و ۳۲].

با افزایش غلاظت انسانس، میزان مقاومت به نفوذ رطوبت نیز به علت ماهیت آبگریزی انسانس افزایش نشان داد. این نتایج با نتایج حاصل از تحقیق حسینی و همکاران (۱۳۸۸) و Mayzora و همکاران (۲۰۰۷) مطابقت دارد [۳۴ و ۳۵]. همچنین وجود قطرات هیدروفوب انسانس توزیع شده در ترکیب فیلم باعث افزایش فاکتور انحناء (Tortuosity Factor) جهت انتقال جرم در فیلم می‌شود که خود سبب بهبود ویژگی‌های بازدارندگی فیلم در برابر بخار آب می‌گردد [۳۶، ۳۷]. وجود انسانس در ترکیب فیلم منجر به کاهش نیروی پیوستگی مولکولی شبکه پلیمر و کاهش انسجام ساختار فیلم و در نتیجه افزایش نفوذ پذیری به بخار آب می‌گردد [۳۹، ۳۸]. کاهش مقاومت فیلم‌های حاوی انسانس‌ها به تشکیل ساختار متخلخل نسبت داده می‌شود که به دلیل خروج مولکول‌های فرار انسانس در نتیجه اعمال حرارت بوده و یا به دلیل محبوس شدن مولکول‌های هوا در طی همزدن سریع می‌باشد [۳۷].

افزودن انسانس منجر به افزایش درصد افزایش طول فیلم در لحظه پاره شدن گردید. میزان درصد کشیدگی با افزایش غلاظت انسانس‌ها (به استثنای زینیان ۰.۳٪ و ۱٪)، به صورت معنی داری ( $p < 0.05$ ) افزایش یافت. بنابراین الاستیسیته فیلم‌ها افزایش یافت [۴۰]. ایجاد بر هم‌کنش‌های ضعیف میان پلیمر قطبی و انسانس غیر قطبی سبب کاهش تعداد برهم‌کنش‌های قوی تر میان زنجیره‌های پلیمر می‌گردد این مسئله سبب تضعیف سازماندهی مولکولی شبکه و در نتیجه کاهش مقاومت کششی می‌شود [۴۱]. همچنین وجود انسانس، اثر نرم‌کنندگی بر فیلم‌های تهیه شده، داشته و تعادل نیروهای برهم‌کنش در شبکه پلی ساکاریدی را تغییر داده و در نتیجه باعث افت پیوستگی فیلم‌ها می‌شود که باعث حرکت آسان زنجیره‌ها در زمان کشیدن فیلم می‌شود [۴۲ و ۴۳]. این موارد با نتایج Benavides و همکاران (۲۰۱۲) و

افزایش نفوذ پذیری غشا و در نتیجه خروج یون‌ها، ATP و سایر ترکیبات سلولی شوند همچنین برهمنش آن‌ها با آنزیم‌هایی که در دیواره سلولی قرار گرفته‌اند [۵۱].

#### ۴-۳- روند تغییرات رشد میکروبی در تیمارهای

##### گوشت سینه بوقلمون

مطابق استاندارد ملی ایران شماره ۹۷۱۴ "گوشت تازه طیور- ویژگی‌ها"، حد مجاز میزان بار باکتریایی کل در گوشت بوقلمون  $\log \text{cfu/g}$  ۵، استافیلوکوکوس اورئوس کواگولاز مثبت  $\log \text{cfu/g}$  ۲ و اشرشیاکلی  $\log \text{cfu/g}$  ۲ می‌باشد که تجاوز بار میکروبی از این حدود باعث ایجاد بوی نامطبوع در گوشت - بوقلمون و غیر قابل مصرف بودن آن می‌شود [۵۲].

نتایج بدست آمده از آزمون میکروبی نمونه گوشت بوقلمون مورد بررسی در پژوهش، برای تعداد کل باکتریایی در دمای  $30^{\circ}\text{C}$  حدود  $\log \text{cfu/g}$  ۶/۱، تعداد کل باکتریایی سرمگرا در دمای  $^{\circ}\text{C}$  ۶/۵ حدود  $\log \text{cfu/g}$  ۴/۷، تعداد اشرشیاکلی  $\log \text{cfu/g}$  ۳/۶۶، تعداد کلی فرم  $\log \text{cfu/g}$  ۲/۰۴، تعداد کلی  $\log \text{cfu/g}$  ۰/۱۰ تا  $^{\circ}\text{C}$  ۴ افزایش استافیلوکوکوس اورئوس کواگولاز مثبت کمتر از صد و سالمونلا تایفی موریوم منفی بوده است. همچنین نمونه مورد بررسی دارای رنگ و بوی قابل قبول بود. نتایج نشان داد که بار باکتریایی کل در تمام نمونه‌های قرارداده شده در فیلم حاوی انسانس‌های مورد بررسی در طول مدت زمان نگهداری در دمای  $^{\circ}\text{C}$  ۴ افزایش یافت. در نمونه بدون پوشش (شاهد) بار باکتریایی کل به سرعت افزایش یافته و پس از ۷ روز نگهداری در دمای یخچال به  $\log \text{cfu/g}$  ۹ رسید (بیشتر از حد مجاز مطابق استاندارد ۹۷۱۴ [۵۲]). در نمونه قرار داده شده در فیلم حاوی٪۱ انسانس مورد، افزایش تعداد کل بار باکتریایی، بوی بد و کمی تغییر رنگ در گوشت مشاهده شد که نشان دهنده فساد در گوشت بوقلمون است در حالیکه تیمارهای پوششی کربوکسی متیل سلولز حاوی ۰٪۷ زیان، در مقایسه با شاهد تا ۷۷ ساعت کاهش بار باکتریایی و سپس به ترتیب در روزهای پنجم و هفتم به بالای حد پذیرش رسیدند. بدین ترتیب در صورتی که نمونه مورد آزمون تعداد بار باکتریایی مطابق با حدود مجاز میکروبی داشته باشد می‌تواند مدت زمان ماندگاری آن را حداقل تا ۷۷ ساعت افزایش داد. بار باکتریایی کل در تیمارهای حاوی زیان و نمونه‌های قرارداده شده

اسانس، قطرات در سطح بزرگنمایی مورد استفاده در این بررسی قابل مشاهده بودند. در امولسیون‌های آب/ روغن با افزایش مقدار فاز پراکنده (روغن)، فرکانس برخورد<sup>1</sup> بین قطرات بیشتر شده در نتیجه سبب افزایش سرعت فلوكه شدن و درهم‌آمیختگی قطرات می‌شود [۴۹]. همچنین تصاویر میکروسکوپی، نشان دهنده ناپیوستگی بیشتر فیلم‌های دارای انسانس زیان نسبت به انسانس مورد است. این امر ممکن است به علت تفاوت در رفتار انسانس - ها در مدت هموژنیزاسیون و خشک شدن باشد که بستگی به نوع انسانس و برهم‌کش پیچیده بین آنها و پلی‌ساقاراید دارد که منجر به تشکیل ساختار متفاوت در فیلم خشک شده است. [۱۹، ۴۲].

#### ۴-۲- خاصیت ضد میکروبی فیلم‌ها

اسانس زیان و مورد توانستند از رشد باکتری‌های اشرشیاکلی و استافیلوکوکوس اورئوس کواگولاز مثبت، بازداری کنند. فیلم‌های حاوی٪۰ زیان اثر بازدارندگی ضعیفی بر روی هر سه باکتری مورد مطالعه و همچنین فیلم‌های حاوی٪۰ و٪۰/۱۰ مورد اثر ضعیفی بر روی استافیلوکوکوس اورئوس کواگولاز مثبت داشتند. همچنین فقط فیلم‌های حاوی٪۰،٪۰/۷۰ و٪۰/۱۷ انسانس زیان در مقابل باکتری سالمونلا تایفی موریوم اثر بازدارندگی کامل را داشتند. فعالیت ضد میکروبی فیلم‌ها در غلظت‌های بالاتر انسانس تقویت شد به‌گونه‌ای که بیشترین خاصیت بازداری در غلظت‌های٪۱ انسانس‌ها دیده شد. [۵۰]

فیلم دارای٪۱ هر دو انسانس اثر کامل بازدارندگی را بر روی اشرشیاکلی و استافیلوکوکوس اورئوس کواگولاز مثبت نشان داد ( $R>3$ ). برخلاف فیلم‌های حاوی انسانس٪۰ مورد فیلم‌های حاوی٪۰ زیان اثر بسیار ضعیفی بر روی باکتری‌های اشرشیاکلی و سالمونلا داشت ( $R<2$ ) و اثر متوسطی هم بر روی استافیلوکوکوس اورئوس کواگولاز مثبت از خود نشان داد ( $R>2>R<3$ ). حساس‌ترین باکتری‌ها نسبت به فیلم‌های زیان، اشرشیاکلی و استافیلوکوکوس اورئوس کواگولاز مثبت و مقاوم ترین باکتری سالمونلا بودند.

ماهیت هیدروفوب ترکیبات تشکیل دهنده انسانس‌ها به ویژه تیمول و کارواکرول توانایی نفوذ آن‌ها به لیپیدهای غشای سلولی و میتوکندری را فراهم نموده و سبب بهم‌ریختگی ساختار و

1. Collision Frequency

لگاریتمی در ۲۴ ساعت اول و ۱ سیکل لگاریتمی پس از ۷۲ ساعت نسبت به نمونه شاهد بود که اختلاف معنی داری ( $P < 0.05$ ) را نشان داد. در فیلم حاوی ۰٪ اسانس زینیان نیز کاهشی حدود ۱ سیکل لگاریتمی پس از ۲۴ ساعت و ۰/۵ سیکل لگاریتمی پس از ۷۲ ساعت نسبت به فیلم فاقد اسانس (شاهد) مشاهده شد که نشان دهنده اختلاف معنی داری ( $p < 0.05$ ) نسبت به فیلم فاقد اسانس (شاهد) می باشد. نتایج بدست آمده با نتایج حاصل از تحقیقات Burt (۲۰۰۴) مطابقت دارد [۵۷].

با توجه به نتایج بدست آمده مشاهده می شود که تیمارهای با پوشش زینیان ۱٪ و ۰/۶٪ توانست بار باکتریایی کل، بار باکتریایی سرماگرا، کلی فرمها و اشرشیا کلی را نسبت به شاهد کاهش دهد. اگرچه در مورد بار باکتریایی کل، بار باکتریایی سرماگرا و برخلاف تیمارهای بدون اسانس، تیمار اسانس زینیان ۰/۶٪ و مورد ۰/۶٪ نسبت به تیمار زینیان و مورد ۱٪ بطور کارآمدتری سبب کاهش رشد باکتری ها شد.

کاهش جمعیت میکروبی ممکن است به دلیل اثر بازدارندگی این فیلم ها در مقابل اکسیژن باشد. سه گروه اول باکتری های هوایی بوده، در مدت زمان نگهداری، با توجه به رطوبت بالای گوشت، فیلم در تماس مستقیم با گوشت رطوبت جذب کرده و آبدار می شود در نتیجه فضای شبکه ساختاری آن بزرگتر شده و نفوذ پذیری آن به اکسیژن افزایش پیدا می کند. [۵۸، ۵۹].

بنابراین استفاده از پوشش های کربوکسی متیل سلولز حاوی ۱٪ زینیان و سپس ۰/۶٪ نسبت به فیلم تهیه شده از اسانس مورد در همه باکتری های مورد بررسی اثر بازدارندگی کارآمدتری داشته است به ویژه پوشش های حاوی اسانس ۰/۶٪ زینیان در بار کل باکتریایی و ۱٪ زینیان در خصوص کلی فرم و اشرشیا کلی بیشترین اثر نگهدارندگی را نشان داد که به ترتیب توانستند مدت زمان ماندگاری گوشت بوقلمون را در دمای  $4^{\circ}\text{C}$  به بیش از دو روز افزایش دهند.

با توجه به نتایج بدست آمده می توان نتیجه گیری نمود که به کار بردن فیلم های کربوکسی متیل سلولز حاوی اسانس در کاهش بار میکروبی گوشت بوقلمون نگهداری شده در دمای  $4^{\circ}\text{C}$  حداقل به مدت سه روز می تواند موثر باشد. به ویژه اسانس زینیان قدرت بازدارندگی فیلم ها را نسبت به مورد بیشتر افزایش می دهد [۵۲].

در فیلم حاوی ۰٪ مورد (تا روز پنجم) و نمونه های قرار داده شده در فیلم حاوی ۱٪ مورد (تا روز سوم) در مدت زمان نگهداری سرد در مقایسه با نمونه قرار داده شده در فیلم بدون اسانس کاهش معنی داری ( $p < 0.05$ ) را نشان داد. اگرچه فیلم حاوی ۰٪ مورد افزایش بار باکتریایی کمتری را نسبت به فیلم حاوی ۱٪ مورد و همچنین فیلم فاقد اسانس (شاهد) نشان داد. بیشترین میزان بازدارندگی رشد باکتریایی و بار باکتریایی سرماگرا در مقایسه با فیلم بدون اسانس (شاهد) به ترتیب مربوط به نمونه های قرار داده شده در فیلم حاوی ۰٪ و ۱٪ زینیان مشاهده شد که منجر به کاهش حدود ۱۳ لگاریتم در تعداد بار باکتریایی در  $30^{\circ}\text{C}$  و بار باکتریایی سرماگرا در دمای  $6/5^{\circ}\text{C}$  گردید، ضمن این که اثر ضد میکروبی آن در مقایسه با تمام نمونه های پوشش داده شده با فیلم های حاوی اسانس و فیلم های فاقد اسانس (شاهد) از همان ابتدا مشهود بود [۵۴، ۵۳].

افزایش پیوسته ای در تعداد باکتریایی سرماگرا در همه نمونه ها در مدت زمان نگهداری تا روز هفتم مشاهده شد شکل (b) اما در نمونه های پوشیده شده با فیلم حاوی ۰٪ و ۱٪ زینیان نسبت به فیلم شاهد ( بدون اسانس) افزایش بار باکتریایی سرماگرای کمتری نشان دادند. حداقل رشد باکتریایی به ترتیب در تیمارهای زینیان ۸/۹  $\log \text{cfu/g}$  و ۵/۵  $\log \text{cfu/g}$  و ۰/۱ دیده شد که از

در روز هفتم رسید.

اغلب کلی فرم ها به عنوان شاخص بهداشتی در مواد غذایی در نظر گرفته می شوند [۵۵، ۵۶]. تعداد کم کلی فرم ها در گوشت روز صفر  $\log \text{cfu/g}$ ، نشان دهنده کیفیت بهداشتی خوب گوشت بود. روند رشد کلی فرم ها نیز در طول دوره نگهداری مانند سایر باکتری های مورد بررسی، روندی افزایشی را نشان داد (به استثنای فیلم حاوی ۱٪ و ۰/۶٪ اسانس زینیان در ۲۴ ساعت اول). بیشترین تاثیر بر روی کاهش تعداد باکتری های کلی فرم مربوط به نمونه های قرار داده شده در فیلم های حاوی ۱٪ و ۰/۶٪ زینیان بود که در ۲۴ ساعت اول تاثیر هر دو غلظت یکسان بود ولی از روز سوم به بعد تاثیر فیلم حاوی غلظت ۱٪ زینیان بیشتر از فیلم حاوی ۰/۶٪ زینیان بود که نشان دهنده تاثیر افزایش غلظت اسانس روی کاهش روند رشد باکتری کلی فرم است.

بیشترین اثر ضد میکروبی و بازدارندگی از رشد اشرشیا کلی مربوط به فیلم حاوی ۱٪ اسانس زینیان با کاهشی حدود ۲ سیکل

باعث افزایش مقاومت به نفوذ پذیری به بخار آب نسبت به فیلم شاهد شد. اگر چه مقاومت کششی فیلم ها در حضور انسان ها کاهش یافت، اما با توجه به تصاویر میکروسکوپ الکترونی این کاهش در حدی نبود که باعث تغییر در پیوستگی ساختار فیلم ها شود و سبب افزایش نفوذ پذیری به بخار آب در فیلم ها گردد. بنابراین می توان نتیجه گیری نمود که فیلم های کربوکسی متیل - سلولز دارای انسان زیان از پتانسیل بالایی برای به کار گیری به عنوان فیلم خوراکی ضد میکروبی با نفوذ پذیری کمتر به بخار آب، برخوردار می باشند.

## ۶- تقدیر و تشکر

بدین وسیله از همکاری کارکنان پژوهشکده شیمی و پتروشیمی و همچنین پژوهشکده غذایی و کشاورزی پژوهشگاه استاندارد به ویژه از زحمات سر کار خانم دکتر فرناز موحدی و سرکار خانم ناهید قلیچ خانی کارشناسان محترم گروه پژوهشی بسته بندی پژوهشکده شیمی و پتروشیمی، سر کار خانم دکتر لادن رشیدی مسئول محترم آزمایشگاه چربی و روغن، سر کار خانم مهندس ساره داورزنی، سرکار خانم مهندس رامش مهرپور، آقای رامتین احمدی کارشناسان محترم و سرکار خانم مهندس فهیم دخت مختاری مدیر محترم گروه پژوهشی میکروبیولوژی پژوهشکده غذایی و کشاورزی به خاطر همکاری در انجام آزمایشات کمال تشکر و قدردانی را دارد.

## ۷- منابع

- [1] Shahidi. F., John. J.A. (2010). Oxidation and protection of nuts and nut oils. *Woodhead Publishing Limited*. Vol. 2, pp. 274-305.
- [2] Kerry. J., O'grady. M., Hogan. S. (2006). Past, current and potential utilisation of active and intelligent packaging systems for meat and muscle-based products: A review. *Meat Science*. Vol. 74, pp.113-30.
- [3] Coma. V. (2008). Bioactive packaging technologies for extended shelf life of meat-based products. *Meat Science*. Vol.78, pp. 90-103.
- [4] Hernández. H., Claramunt. D., Kučerová. I., Banout. J. (2017). The effects of modified blanching and oregano essential oil on drying

## ۴-۵- روند تغییرات pH

افزایش pH در نتیجه کاتابولیسم ترکیبات نیتروژنی و آمینو اسیدها و همچنین واکنش های متابولیت های ثانویه و تولید آمونیاک و آمین ها می باشد. این امر سبب افزایش میزان pH و بیان کننده میزان فساد در گوشت بوقلمون می باشد [۵۱]. تاخیر مشاهده شده در افزایش pH در فیلم های حاوی انسان زیان در مدت زمان نگهداری، ممکن است عاملی برای جلوگیری از رشد میکروبی و بازدارندگی از فعالیت آنزیم های تجزیه کننده پروتئین در گوشت بوقلمون باشد، که این امر می تواند در افزایش زمان ماندگاری گوشت بوقلمون موثر باشد [۵۲]. این نتایج با یافته های Ahmad Lymo در فیلم بر پایه ژلاتین و Karabagias و همکاران در سال ۲۰۱۱ با اضافه کردن انسان های پونه کوهی و آویشن (بطور مستقیم) و افزایش زمان ماندگاری به ترتیب در ماهی خاردار و گوشت برره مطابقت دارد [۶۱، ۶۰]. اگرچه Emiroğlu و همکاران در سال ۲۰۱۰ عنوان نمودند که pH در گوشت گاو بسته بندی در مدت زمان دوازده روز کاهش نشان داده است و این امر را به رشد باکتری های لاکتیک اسید و تولید اسید و در نتیجه کاهش میزان pH نسبت دادند [۵۶].

## ۵- نتیجه گیری

نتایج نشان داد که افزایش غلظت انسان زیان و مورد باعث کاهش در میزان حلایت، محتوی رطوبت و بخار آب فیلم ها گردید. در ارزیابی خواص مکانیکی فیلم های کربوکسی متیل - سلولز حاوی انسان زیان و مورد، با افزایش غلظت، کاهش استحکام کششی، و افزایش درصد کشیدگی مشاهده گردید. بررسی مشخصه های رنگی نشان داد که با افزایش غلظت انسان زیان و مورد شفافیت کاهش یافته و در رنگ فیلم ها، با افزایش غلظت انسان تغییری حاصل نشد. افروden انسان های زیان و مورد به فیلم بر پایه کربوکسی متیل سلولز به طور موفقیت آمیزی سبب تولید فیلم هایی با ویژگی های ضد میکروبی گردید و بر باکتری های مورد بررسی موثر بود. انسان زیان در این زمینه کارآمدتر از انسان مورد عمل نمود. همچنین علاوه بر بهبود قابل توجه در ویژگی های ضد میکروبی، وجود انسان های مذکور

- [16] Ghanbarzadeh. B., Oromiehie. A.R., Musavi. M., Massimiliano Falcone. P., Emam Djomeh. Z., Razmi Rad. E. (2007). Study of Mechanical Properties, Oxygen Permeability and AFM Topography of Zein Films Plasticized by Polyols. *Packaging Technology and Science*. Vol. 20, pp. 155–163.
- [17] Dashipour. A., Khaksar. R., Hosseini. H., Shojaee Aliabadi. S., Ghanati. K. (2014). Physical, Antioxidant and Antimicrobial Characteristics of Carboxymethyl Cellulose Edible Film Cooperated with Clove Essential Oil. *Zahedan Journal of Research in Medical Science*. Vol.16, no. 8, pp. 34-42.
- [18] Holley. R.A., Patel. D. (2005). Improvement in shelf-life and safety of perishable foods by plant essential oils and smoke antimicrobials. *Food Microbiology*. Vol. 22, pp. 273-92.
- [19] Ojagh. S.M., Rezaei. M., Razavi. S.H., Hosseini. S.M.H. (2010). Development and evaluation of a novel biodegradable film made from chitosan and cinnamon essential oil with low affinity toward water. *Food Chemistry*. Vol. 122, no. 1, pp. 161-166.
- [20] ASTM E96-95. Standard test methods for water vapor transmission of materials. (1995). *Annual Book of ASTM, American Society for Testing and Materials*. Philadelphia, PA.
- [21] ASTM D882. Standard test method for tensile properties of thin plastic sheeting.(2001). *Annual Book of ASTM, American Society for Testing and Materials*. Philadelphia, PA.
- [22] ASTM D523. Standard test method for specular gloss. (1999). *Annual Book of ASTM, American Society for Testing and Materials*. Philadelphia, PA.
- [23] Meshkani. M., Mortazavi. A., Pourfallah. Z. (2013). Antimicrobial and physical properties of a chickpea protein isolate-based film containing essential oil of thyme using response surface methodology. *Iranian Journal of Nutrition Sciences & Food Technology*. Vol. 8, no. 1, pp. 93-104.
- [24] Institute of Standards and Industrial Research of Iran. ISO 1028, (2007), Meat and meat products. pH: reference test methods. The first revision.
- [25] Institute of Standards and Industrial Research of Iran. ISO 5272-1, (2015). Microbiology of food chain Horizontal method for the enumeration of microorganisms-Part 1: Colony count at 30 °C by the pour plate kinetics and sensory attributes of dried meat. *Journal of food processing and preservation*. Vol.41, no 5, pp. 5- 41.
- [5] Guilbert. S. (1986).Technology and application of edible protective films. *Food packaging and preservation*. Vol. 4, pp. 371-394.
- [6] Fishman. M.L. Edible and biodegradable polymer films: challenges and opportunities. *Food Technol*. Vol. 5, no. 2, pp. 60-74.
- [7] Krochta. J.M., Mulder-Johnston. C.D. (1997). Edibleand biodegradable polymer films: challenges and opportunities. *Food Technol*. Vol. 51, no. 2, pp. 61-74.
- [8] Shahnia. M., Khaksar. R. (2013). Antimicrobial effects and determination of minimum inhibitory concentration (MIC) methods of essential oils against pathogenic bacteria. *Iranian Journal of Nutrition Sciences & Food Technology*.Vol. 7, no. 5, pp. 949-955.
- [9] Sánchez-González. L., Vargas. M.A., González Martínez. C., Chiralt. A., Cháfer. M. (2011). Use of essential oils in bioactive edible coatings. *J. Food Eng*. Vol. 3, pp. 1-16.
- [10] Akgul. A., Kivanc. M. (1988). Inhibitory effects of selected Turkish spices and oregano components on some food borne fungi. *International Journal of Food Microbiology*. Vol. 69, no. 3, pp. 263-268.
- [11] Palmer. A., Stewart. J., Fyfel. F. (2002). The Potential application of plant essential oils as natural food preservatives in soft cheese. *Journal of Food Microbiology*. Vol. 1, pp. 463-470.
- [12] hurinder. S., Fallahi. M.B., Adams. M.A. (2001). Synergistic inhibition of *listeria monocytogenes* by nisin and garlic extract. *Journal of Food Microbiology*. Vol. 18, pp. 133-139.
- [13] Aberoomand Azar. p., Mottaghianpuor. Z., Sharifan. A., Larijani. K. (2010). Studies on the Effect of Extraction Method on Chemical Composition and Antimicrobial Activity of *Carum copticum* Essential Oil. *Food Technology & Nutrition*. Vol. 7, no. 2, pp. 10-18.
- [14] Salehi surmaghi. M.H. (2009). Medicinal plants and phytotherapy.1nd ed.*donyaye aghzieh*. Vol. 16, no. 86, pp.378-81.
- [15] Turhan. K.N., Sahbas. F. (2004). Water vapor permeability, tensile properties and Solubility of methylcellulose-based edible films, *Journal of Food Engineering*. Vol. 16, no. 3, PP. 459-466.

- Research.* Vol. 15, no. 2, pp. 233-236.
- [35] Saei-Dehkordi. S.S., Tajik. H., Moradi. M., Khalighi-Sigaroodi. F. (2010). Chemical composition of essential oils in *Zataria multiflora* Boiss. from different parts of Iran and their radical scavenging and antimicrobial activity. *Food and chemical toxicology.* Vol. 48, pp. 1562-7.
- [36] Pérez-Gago. M.B., Krochta. J.M. (2001). Lipid particle size effect on water vapor permeability and mechanical properties of whey protein/beeswax emulsion films. *Journal of Agricultural and Food Chemistry.* Vol. 49, pp. 996-1002.
- [37] Fabra. M.J., Pérez-Masiá. R., Talens. P., Chiralt. A. (2011). Influence of the homogenization conditions and lipid self-association on properties of sodium caseinate based films containing oleic and stearic acids. *Food Hydrocolloids.* Vol. 25, no. 5, pp. 1112-21.
- [38] Bonilla. J., Atarés. L., Vargas. M., Chiralt. A. (2012). Effect of essential oils and homogenization conditions on properties of chitosan-based films. *Food Hydrocolloids.* Vol. 26, pp. 9-16.
- [39] Hosseini. M.H., Razavi. S.H., Mousavi. M.A. (2009). Antimicrobial, physical and mechanical properties of chitosan-based films incorporated with thyme, clove and cinnamon essential oils. *Journal of Food Processing and Preservation.* Vol. 33, pp. 727-743.
- [40] Pelissari. F.M., Grossmann. M.V.E., Yamashita. F., Pineda. E.A.G. (2009). Antimicrobial, mechanical, and barrier properties of cassava starch-chitosan films incorporated with oregano essential oil. *Journal of Agricultural Food and Chemistry.* No. 57, pp. 7499-7504.
- [41] Sánchez-González. L., González-Martínez. C., Chiralt. A., Cháfer. M. (2010). Physical and antimicrobial properties of chitosan-tea tree essential oil composite films. *Journal of Food Engineering.* Vol. 98, pp. 443-452.
- [42] Atarés. L., Bonilla. J., Chiralt. A. (2010). Characterization of sodium caseinate-based edible films incorporated with cinnamon or ginger essential oils. *Journal of Food Engineering.* Vol. 100, pp. 678-87.
- [43] Monedero. F.M., Fabra. M.J., Talens. P., Chiralt. A. (2009). Effect of oleic acid-beeswax mixtures on mechanical, optical and water barrier properties of soy protein isolate based films. *Journal of Food Engineering.* Vol. technique.
- [26] Ojagh. S.M., Rezaei. M., Razavi. S.H., Hosseini. S.M.H. (2010). Effect of chitosan coatings enriched with cinnamon oil on the quality of refrigerated rainbow trout. *Food Chemistry.* Vol. 120, no. 1, pp. 193-198.
- [27] Institute of Standards and Industrial Research of Iran. ISO 11166-1. (2015). Microbiology of food and animal feeding stuffs- Horizontal method for the detection and enumeration of coliforms- Most probable number technique.
- [28] Institute of Standards and Industrial Research of Iran. ISO 6806-1. (2005). Microbiology of food and animal feeding stuffs- enumeration of coagulase – Positive staphylococci (*staphylococcus aureus* and other species) - Test method.
- [29] Institute of Standards and Industrial Research of Iran. ISO 1810-4. (2015). Microbiology of food and animal feeding stuffs-Horizontal method for the detection of *Salmonella* spp.
- [30] Hosseini. M.H., Razavi. S.H., Mousavi. M.A. (2009). Antimicrobial, physical and mechanical properties of chitosan-based films incorporated with thyme, clove and cinnamon essential oils. *Journal of Food Processing and Preservation.* Vol. 33, pp. 727-43.
- [31] Oussalah. M., Caillet. S., Saucier. L., Lacroix. M. (2007). Inhibitory effects of selected plant essential oils on the growth of four pathogenic bacteria: *E. coli* O157: H7, *Salmonella* ,*typhimurium*, *Staphylococcus aureus* and *Listeria monocytogenes*. *Food Control.* Vol 18, no. 5, pp. 414-420.
- [32] Moradi. M., Tajik. H., Razavi Rohani. S.M., Oromiehie. A.R., Malekinejad. H., Aliakbarlu. J. (2012). Characterization of antioxidant chitosan film incorporated with *Zataria multiflora* Boiss essential oil and grape seed extract. *LWT - Food Science and Technology.* Vol. 46, pp. 477-84.
- [33] Talja. R.A., Helen. H., Roos. Y.H., Jouppila. K. (2008). Effect of type and content of binary polyol mixtures on physical and mechanical properties of starch-based edible films. *Carbohydrat Polymer.* Vol. 71, pp. 269-276.
- [34] Maizura. M., Fazilah. A., Norziah. M.H. Karim. A.A. (2008). Antibacterial Activity of Modified Sago Starch-Alginate Based Edible Film Incorporated with Lemongrass (*Cymbopogoncitratus*) Oil. *International Food*

- [52] Institute of Standards and Industrial Research of Iran. ISO 9714, poultry meat.
- [53] Nadeem. AhmedS., Chattpadhyay. U., Sherikar. A., Waskar. V., Paturkar. A., Latha. C. (2003). Chemical sprays as a method for improvement in microbiological quality and shelf-life of fresh sheep and goat meats during refrigeration storage (5–7 °C). *Meat Science*. Vol. 63, pp.39-44.
- [54] Zinoviadou. K.G., Koutsoumanis. K.P., Biliaderis. C.G., (2009). Physico-chemical properties of whey protein isolate films containing oregano oil and their antimicrobial action against spoilage flora of fresh beef. *Meat Science*. Vol. 82, pp. 338-345.
- [55] Seol. K.H., Lim. D.G., Jang. A., Jo. C., Lee. M. (2009). Antimicrobial effect of κ-carrageenan-based edible film containing ovotransferrin in fresh chicken breast stored at 5 °C. *Meat Science*. Vol. 83, pp. 479-483.
- [56] Emiroğlu. Z.K., Yemiş. G.P., Coşkun. K.B., Candogan. K. (2010). Antimicrobial activity of soy edible films incorporated with thyme and oregano essential oils on fresh ground beef patties. *Meat Science*. Vol. 86, pp. 283-288.
- [57] Burt.S. (2004). Essential oils: Their antibacterial properties and potential applications in food- a review. *InternationalJournal of Food Microbiology*. Vol. 94, pp. 223-253.
- [58] Zinoviadou. K.G., Koutsoumanis. K.P., Biliaderis. C.G. (2009). Physico-chemical properties of whey protein isolate films containing oregano oil and their antimicrobial action against spoilage flora of fresh beef. *Meat Science*.Vol. 82, pp. 338-345.
- [59] Giatrakou. V., Ntzimani. A., Savvaidis. I. (2010). Effect of chitosan and thyme oil on a ready to cook chicken product. *Food microbiology* . vol. 27, no. 1, pp. 132-136.
- [60] Ahmad. M., Benjakul. S., Sumpavapol. P., Nirmal. N.P. (2012). Quality changes of sea bass slices wrapped with gelatin film incorporated with lemongrass essential oil. *International Journal of Food Microbiology*. Vol. 155, pp. 171-178.
- [61] Karpińska. M., Borowski. J., Danowska-Oziewicz. M. (2011). The use of natural antioxidants in ready-to-serve food. *Food Chemistry*. Vol. 72, pp.5-9.
- 91, pp. 509-515.
- [44] Benavides. S., Villalobos-Carvajal. R., Reyes. J.E. (2012). Physical, mechanical and antibacterial properties of alginate film: Effect of the crosslinking degree and oregano essential oil concentration. *Journal of Food Engineering*. Vol. 110, pp. 232-239.
- [45] Moradi. M., Tajik. H., Razavi Rohani. S.M., Oromiehie. A.R., Malekinejad. H., Aliakbarlu. J. (2012). Characterization of antioxidant chitosan film incorporated with Zataria multiflora Boiss essential oil and grape seed extract. *LWT - Food Science and Technology*. Vol. 46, pp. 477-484.
- [46] Sánchez-González. L., Vargas. M., González-Martínez. C., Chiralt. A., Cháfer. M. (2009). Characterization of edible films based on hydroxypropylmethylcellulose and tea tree essential oil. *Food Hydrocolloids*. Vol. 23, pp. 2102-9.
- [47] Gómez-Estaca. J., Giménez. B., Montero. P., Gómez-Guillén. M.C. (2009). Incorporation of antioxidant borage extract into edible films based on sole skin gelatin or a commercial fish gelatin. *Jornal of Food Engineering*. Vol. 92, pp. 78-85.
- [48] Hoque. M.S., Benjakul. S., Prodpran. T. (2011). Properties of film from cuttlefish (*Sepia pharaonis*) skin gelatin incorporated with cinnamon, clove and star anise extracts. *Food Hydrocolloids*. Vol. 25, pp. 1085-97.
- [49] McClements DJ. (2005). Theoretical analysis of factors affecting the formation and stability of multilayered colloidal dispersions. *Langmuir*. Vol. 21, no. 21, pp. 9777-9785.
- [50] Shakeri. M.S., Shahidi. F., Beiraghi-Toosi, S., Bahrami. A, (2011). Antimicrobial activity of *Zataria multiflora* Boiss. essential oil incorporated with whey protein based films on pathogenic and probiotic bacteria. *International journal of food science & technology*. Vol. 46, no. 3, pp. 549-554.
- [51] Shojaee-Aliabadi. S., Mohammadifar. M.A., Hosseini. H., Mohammadi. A., Ghasemlou. M., Hosseini. S.M., Haghshenas. M., Khaksar. R. (2014). Characterization of nanobiocomposite kappa-carrageenan film with *Zataria multiflora* essential oil and nanoclay. *International journal of biological macromolecules*. Vol. 69, pp. 282-289.

## Iranian Journal of Food Science and Technology

Homepage: [www.fsct.modares.ir](http://www.fsct.modares.ir)

## Scientific Research

## Physical, Mechanical and Microbial Properties of Carboxymethyl Cellulose (CMC) Bioactive Film Containing *Trachyspermum Ammi*, *Myrtus Communis* Essential Oils and the Effects on Shelf Life of Turkey Meat

Fayazi, A.<sup>1</sup>, Hashemiravan, M.<sup>2</sup>, Jannatiha, N.<sup>3</sup>, Moslehishad, M.<sup>4\*</sup>

1. Graduated MSc Student, Institute of Food Agriculture, Standards Research Institute, Iranian National Standards Organization
2. Assistant Professor, Department of Food Science and Technology, Faculty of Agriculture, Varamin- Pishva Branch, Islamic Azad University, Varamin, Iran
3. Ph.D Student, Nutrition and Food Sciences Research Center, Tehran Medical Sciences, Islamic Azad University, Tehran, Iran
4. Assistant Professor, Department of Food Science and Technology, Safadash Branch, Islamic Azad University, Tehran, Iran

## ARTICLE INFO

## ABSTRACT

## Article History:

Received 21 March 2020  
Accepted 04 October 2020

## Keywords:

*Trachyspermum Ammi*  
Essential Oil,  
*Myrtus Communis* Essential Oil,  
Antimicrobial Activity,  
Packaging, Edible Film

DOI: 10.52547/fsct.18.02.19

\*Corresponding Author E-Mail:  
mmoslehi@safa.iau.ir

Antimicrobial packaging has a potential to prevent pathogenic microorganisms and also increases the shelf life of meat products. The aim of this study was to determine mechanical and physical properties of Carboxymethyl Cellulose (CMC) containing *Trachyspermum ammi* and *Myrtus Communis* essential oils (0.1, 0.3, 0.6 and 1%). Therefore antimicrobial packaging with optimum concentration of essential oil (0.6 and 1%) was selected to evaluate the effect of packaging on microbial and physical properties of turkey meat during storage at refrigerator. The results showed that tensile strength decreased and percentage of film elongation increased significantly. Water absorption, moisture content, solubility and water vapor permeability decreased by increasing the concentration of the essential oils increased. Film prepared using *Trachyspermum ammi* essential oil had high antimicrobial activity compared to *Myrtus Communis* essential oil. Turkey meat which packed using film containing 0.6% *Trachyspermum ammi* essential oil was more effective against total bacterial count than 1% essential oil. In contrast, the film containing 1% essential oil showed high antimicrobial activity against coliform and E.coli. Therefore, the film containing essential oil increased the shelf life of turkey meat, and application of 0.6% *Trachyspermum ammi* essential oil film as an effective treatment is recommended.